

横浜国立大学 正員 山田 勝
横浜国立大学 正員 宮田 利雄

まこと $1/4$ 程度の断面比をもつ角柱に代表される箱形断面上発生するいわゆる渦流振動の発生メカニズムに対する多くの実験が行なわれ、その考え方が明らかになってきた。これらの見方の底流とひずみ方とは、いかにも整理された次のようなようだと思われる。(1)発生する現象は、カルマ=渦との共振で理解される。(2)対応する作用空気力特性・圧力特性のうち何が支配的か。(3)発生する渦の周辺流場はどうか。後流への漏放出との関係はどうか。(4)断面比を特に特徴のもつものとしないとき、断面比の影響はどうなに現れるか。(5)以上のようにまとめられよう。我々は、断面比 β を下限角比 $\beta = 1.0$ - 1.2 で振動する角柱の非定常圧力特性について一連の実験報告を行ってきた。本報告はその一つである。特に上記(4)に着目して断面比 $\beta = 1/4$ 断面からいわゆる渦流振動発生領域現象の発生の有無特に考慮すると、非定常圧力特性に対する換算風速・断面比および迎角のいかなる影響をもつがを調べたので、今実験結果を示すところ。

実験装置および模型 使用した実験装置・解析手法は、一連の報告の中で使用した測定解析システムとほぼ同一のシステムである。風洞は、測定部が $1.1\text{m} \times 1.8\text{m}$ で、 $T_0 = 18^\circ\text{C}$ の風洞である。圧力測定系は、模型中央断面周囲に相互干渉アームにより適当に設置した $T_0 = T_{\text{ref}} + \Delta T$ より、 1.5m 長の $\beta = 1.0$ - 1.2 Scanvalve[®] 多点スキャナを行って圧力を測定する SETRA 232 0.1 psi の微差圧計を導入し、風洞内に設置したピト管による圧力を基準圧として測定するものである。模型は、模型高さ同一の 75mm とし、幅を 150mm 、 225mm 、 300mm とし $T_0 = 18^\circ\text{C}$ 、 $1/2$ 、 $1/3$ 、 $1/4$ の断面比をもつ角柱3種がある。また、気流は一様の気流を用いて模型の運動方向は気流と直角方向であるが、模型を傾けたときに迎角を定めている。同一の換算風速に対する、断面比を向かうければ同一の振動数と風速に対する非定常圧力測定を行なう。非定常圧力は、動圧により無次元化され、測定システム特性による修正は行なう。換算風速 $U_r = U_0 / \sqrt{\rho}$ は、 $U_r = 0.06\text{ m/s}$ である。また、ほぼすべての実験 $\beta = 1.0$ Lock-in 現象がはじめており、卓越する非定常振動数成因は見らなかった。

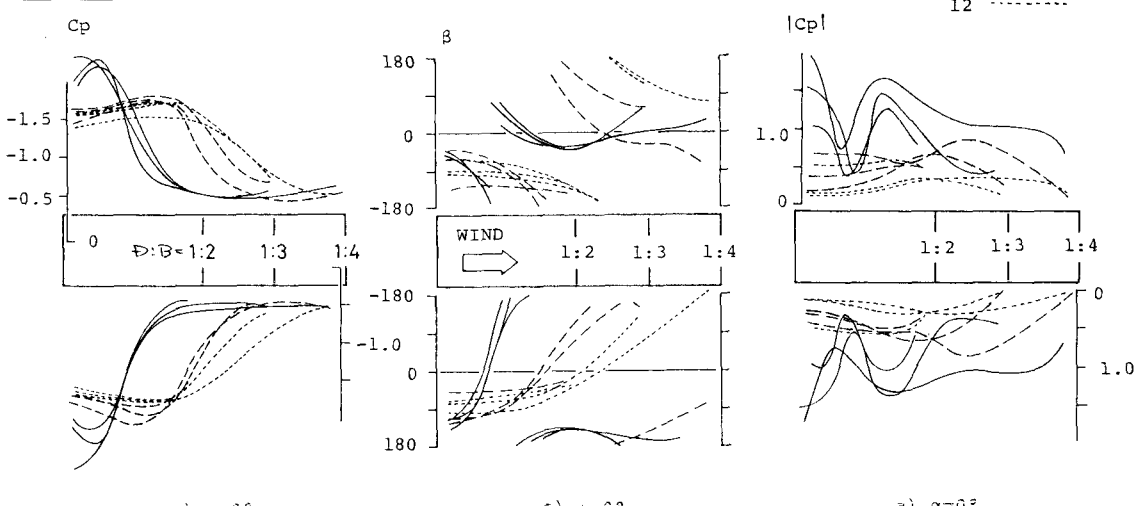
実験結果 換算風速 $U_r = 1.0$ と $\beta = 1.0$ の平均圧力 C_p 分布、変位との位相差 ϕ および圧力変動振幅 $|C_p|$ の分布を図1-3に示す。 $\beta = 1.0$ の C_p 分布形状は、 $\beta = 1.0$ の C_p 分布では、 C_p が依然として一定である。一方、意味あるか山字の C_p 分布形状は、 $\beta = 1.0$ の C_p 分布形状と角柱は $\beta = 1.0$ の側面部の対応する部分では $\beta = 1.0$ より一致すると言ふべきである。 $1/2$ 断面の $d = 0^\circ$ かつ $\beta = 1.2$ は、振動によく再び着目されるべきであるが、この場合 $\beta = 1.0$ と同一の $d \cdot U_r$ の $1/4$ 、 $1/3$ 断面の C_p 分布が一部と一致する。再び着目するにあらざる振動中心では、 2^\pm Separation Bubble 内で同様の負圧状況と $\phi = 180^\circ$ 意味深く $\phi = 180^\circ$ である。さて変位との位相差 ϕ は $\beta = 1.0$ で説明する。図2)変位との位相差 ϕ の分布は C_p 分布よりみては多くは異なるけれども、断面比によらず換算風速 U_r が $\beta = 1.0$ の場合は $\beta = 1.0$ と同様 $U_r = 0$ に対応する場所で示す傾向が見られる。 $= 2^\pm$ 、圧力変動の変位との位相差 ϕ が換算風速に依存(断面比に依存) $U_r = 0$ と $U_r = 1.0$ では $\phi = 180^\circ$ と $\phi = 0^\circ$ 、平均圧力 C_p 分布との対応 ϕ が $\beta = 1.0$ より $\beta = 1.2$ で $\phi = 180^\circ$ である。平均圧力 C_p 分布と変位との位相差 ϕ 分布との間に強い相関が見らるる $\phi = 180^\circ$ は可 $\phi = 0^\circ$ に $\beta = 1.0$ が $\beta = 1.2$ である。一方、圧力変動の振幅 $|C_p|$ 示す C_p 分布には、平均圧力 C_p および変位との位相差 ϕ に見られたようないずれも $U_r = 0$ に対応する非定常性は見られない。図3)対象とする換算風速域では、圧力変動振幅 $|C_p|$ の分布は側面ほど大きくなる成長・縮減する様子が観察される。これらの変動につれて換算風速 U_r が $\beta = 1.0$ から $\beta = 1.2$ へとこの差違は全く見出されなかつてはならぬが、 $\beta = 1.0$ 大さき

バラツキを伴うものである。 C_p 分布および β 分布の特性を反映しながら例えば afterbody 部分では Trailing Edge の存在など断面固有の特性の影響で下近く後方変動が大きくなり得る。

式1 角柱の非定常圧力特性から平均圧力 C_p 分布が、断面比に対する興味深いことは同一の分布形状まで $B:D$ によって異なることである。

エフ、平均圧力分布(C_p)が換算風速が与えられたとき同様のものとなるが、 C_p 分布による変位との位相差は分布半径からするとすれば、振動応答を述べる C_{pI} は $C_{pI} = |C_p| \times \sin \beta$ で示されるので、 $|C_p|$ の分布と推定できると同時に揚動振幅応答が記述できることがわかる。したがって、圧力変動の原因不明の現象を明らかにするには、いかゆる揚動振幅応答より大きく興味を引かねばならない。

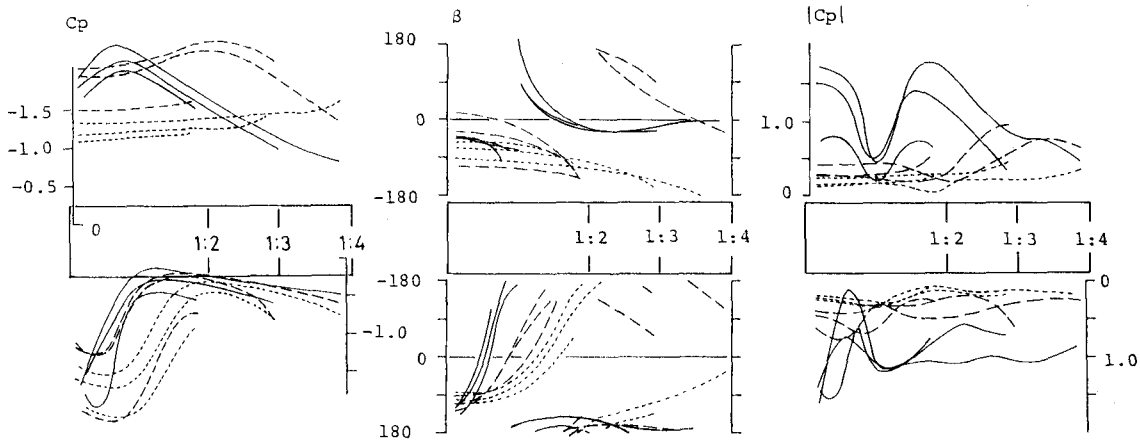
おりに 本実験は、すべて東大工工管科の風洞実験装置にて行なったものである。東京大学 復興実験室、施設技術部では、成し得たが、下記のとおりである。 $U_r = 4$ —————
 8 ————
 12 ······



a) $\alpha=0^\circ$

a) $\alpha=0^\circ$

a) $\alpha=0^\circ$



b) $\alpha=8^\circ$

b) $\alpha=8^\circ$

b) $\alpha=8^\circ$

図1 $B:D, U_r = 8.3$

平均圧力 C_p 分布

図2 $B:D, U_r = 8.3$

位相差の分布 (deg.)

圧力変動振幅 $|C_pI|$ 分布